

Vascularized Neuro-mesodermal  
Assembloid

117th Annual Meeting / 34. Arbeitstagung  
der Anatomischen Gesellschaft  
27. bis 29. September 2023

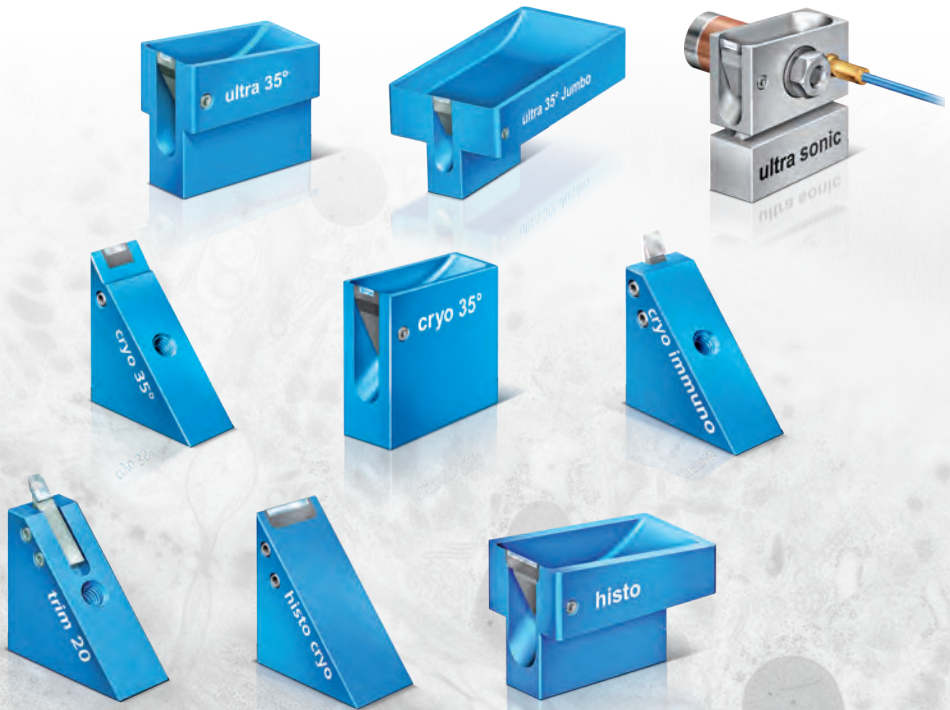
am Institut für Anatomie und Zellbiologie  
der Universität Würzburg

# DiATOME

## Swiss Diamonds Knives

**Best cutting results at room- and cryo temperatures**

Please allow us to help you choose the appropriate knife type from our large range for your specific application.



### **DiATOME Ltd**

Helmstrasse 1  
CH 2560 Nidau / Switzerland  
Phone +41 (0)32 332 91 13  
diatome@diatome.ch  
www.diatome.ch

---

## VERANSTALTER und ORGANISATOR

Prof. Dr. med. Süleyman Ergün  
Vorstand  
Institut für Anatomie und Zellbiologie  
Julius-Maximilians-Universität Würzburg  
Köllikerstr. 6  
97070 Würzburg

## TAGUNGSORT

Julius-Maximilians-Universität, Institut für Anatomie und Zellbiologie,  
Koellikerstraße 6, D-97070 Würzburg

Telefon: ++49(0)931-31 82 706      Telefax: ++49(0)931-31 82 712  
E-mail: anat015@mail.uni-wuerzburg.de

Das Tagungsbüro befindet sich im Institut und ist ab Mittwoch, dem 27. September 2023 zwischen 8:00 und 18:00 Uhr geöffnet.

### Tagungsbeitrag:

Teilnahmegebühren/ Participation fee (erhöhte Gebühren ab dem 16.09.2023 increased fee as of September 16<sup>th</sup>, 2023)

	(bis zum 20.09.23) (Überweisung)	(ab dem 20.09.23) (Barzahlung)
Mitglieder der Anatomischen Gesellschaft	€ 80,00	€ 110,00
Nichtmitglieder	€ 110,00	€ 150,00
Studierende	€ 35,00	€ 60,00

Der Tagungsbeitrag ist zu entrichten: unter Angabe der 12-stelligen Rechnungsnummer (eine personalisierte Rechnung gibt es nur auf Anfrage der Teilnehmer\*Innen) auf das nachstehende Konto:

Kontoinhaber      Staatsoberkasse Bayern  
Bank Bayerische Landesbank München  
IBAN DE75 7005 0000 0001 1903 15  
SWIFT-Code BYLADEMM  
Verwendungszweck:      **00002.0178.1438**

**Für die beiden kostenlosen Abendveranstaltungen müssen Sie sich bei der Registrierung zusätzlich anmelden.**

**Der Tagungsbeitrag in voller Höhe ist auch von jenen Teilnehmern zu entrichten, die lediglich nur für einen Tag nach Würzburg kommen.**

---

## **ORGANISATORISCHE HINWEISE**

### **PARKEN**

Aufgrund der begrenzten Anzahl an Parkplätzen in der Umgebung des Anatomischen Instituts werden die Tagungsteilnehmer gebeten, möglichst **ohne** Auto zur Anmeldung und zu den Sitzungen zu kommen. Das Institut liegt in unmittelbarer Nähe des Bahnhofs und ist von allen Hotels in maximal 15 Gehminuten erreichbar.

### **REDEZEITEN**

Für jeden Vortrag stehen 15 Minuten zur Verfügung, davon sind maximal 10 Minuten für den Vortrag und maximal 5 Minuten für die Diskussion vorgesehen. Im Interesse der planmäßigen Durchführung der Tagung wird gebeten, diese Zeiten einzuhalten.

### **ORT DER VORTRÄGE**

Die Vorträge finden im kleinen Hörsaal des Instituts statt.

### **PROJEKTION**

Die Vorträge sollen mittels Beamer als Power-Point-Dateien präsentiert werden. Die Vortragenden werden gebeten, ihre Daten auf geeigneten Medien (USB-Stick oder -Datenträger) mitzubringen und rechtzeitig vor den entsprechenden Sitzungen im Hörsaal auf den Hörsaalrechner aufspielen zu lassen. Weiterhin besteht die Möglichkeit, die Präsentationen vorab per E-Mail oder GIGAMOVE an Herrn Michael Christof zu senden: [m.christof@uni-wuerzburg.de](mailto:m.christof@uni-wuerzburg.de). Sollten Sie spezielle Fragen/Wünsche haben, wenden Sie sich bitte an Herrn PD Dr. Stefan Hübner in der Würzburger Anatomie, Telefon ++49(0)931 – 31 81311 [stefan.huebner@uni-wuerzburg.de](mailto:stefan.huebner@uni-wuerzburg.de). Das Mitbringen eigener Notebooks zur Vortragspräsentation ist nicht erwünscht.

### **WISSENSCHAFTLICHE AUSSTELLUNG – POSTER**

Für die wissenschaftliche Ausstellung (Posterbeiträge) stehen Naturholzplatten (Höhe 125 cm, Breite 125 cm) zur Verfügung. Die Befestigung von Postern kann mittels Heftzwecken/Reißnägeln an den Stellwänden erfolgen. Dieses Material bitte selbst mitbringen.

---

## **ABHOLUNG – POSTER**

Um einen reibungslosen Ablauf zu gewährleisten, müssen folgende zeitliche Rahmenbedingungen eingehalten werden.

Am Donnerstag, 28. September bis Vortragsbeginn in Eigenregie die Poster vom Mittwoch, 27. September entfernen.

Am Freitag, 29. September bis Vortragsbeginn in Eigenregie die Poster vom Donnerstag, 28. September entfernen.

Alle Poster welche bis zu diesen genannten Terminen nicht abgeholt wurden, werden entsorgt. Ein Versand kann nicht erfolgen.

---

## **GEPÄCKKAUFBEWAHRUNG**

Das Institut für Anatomie und Zellbiologie bietet die Möglichkeit während der Tagung das Gepäck aufzubewahren. Das Institut übernimmt keine Haftung. Dieser Raum befindet sich im Kellergeschoss und wird im zeitlichen Rahmen der Vorträge abgeschlossen sein.

## **HOTELRESERVIERUNG**

Sofern Sie noch kein Hotelzimmer gebucht haben, wenden Sie sich bitte umgehend an das

Eigenbetrieb Congress - Tourismus - Würzburg  
Am Congress Centrum, D-97070 Würzburg  
Telefon: ++49 (0)931-37 23 35  
Fax: ++49 (0)931-37 36 52

oder an die

Privat-Zimmer-Vermittlung– Telefon: ++49 (0)931 – 404 56 09

**Es wird darauf aufmerksam gemacht, dass während unserer Tagungszeit noch andere Veranstaltungen in Würzburg stattfinden. Es empfiehlt sich also, sich umgehend um ein Hotelzimmer zu kümmern.**

## **MAHLZEITEN**

Mittagessen kann in einem der zahlreichen Restaurants in der Umgebung des Instituts eingenommen werden. Eine Liste der Restaurants wird mit den Kongressunterlagen bei der Anmeldung in Würzburg ausgehändigt. Kuchen und belegte Brötchen werden im Institut angeboten. Alkoholfreie Getränke sind in der Tagungsgebühr enthalten.

## **ABSTRACTS**

Die Kurzfassungen (Abstracts) der eingereichten Beiträge werden auf der Homepage der Anatomischen Gesellschaft ([www.anatomische-gesellschaft.de](http://www.anatomische-gesellschaft.de)) als PDF-file auf die Seite gestellt, können dort eingesehen werden und werden mit einer DOI-Nummer versehen. Sie sind damit zitierfähig.

---

## **PROGRAMMVERANTWORLICH FÜR DEN DRUCK:**

### **SCHRIFTFÜHRER:**

Prof. Dr. med. Dr. h.c. mult. Friedrich Paulsen  
Institut für Funktionelle und Klinische Anatomie  
Friedrich-Alexander-Universität Erlangen-Nürnberg  
Universitätsstraße 19  
D-91054 Erlangen

Telefon: ++49 (0)9131 – 852 2865

Fax: ++49 (0)9131 – 852 2862

E-mail: [friedrich.paulsen@fau.de](mailto:friedrich.paulsen@fau.de)

Homepage: <https://anatomische-gesellschaft.de/>

---

Der Schriffführer steht jederzeit gerne für Auskünfte zur Verfügung.

---

### **Titelseite:**

Die Abbildung auf dem Cover zeigt ein menschliches neuro-mesodermales Assembloid. Assembloide entstehen aus Ko-Kulturen von zwei oder mehr verschiedenen Organoiden. Organoide wiederum sind komplexe 3D-Zellkulturmodelle, die aus Stammzellen erzeugt werden. Sie sind wertvolle Werkzeuge, um die Entwicklung verschiedener Organe ohne Tierversuche und direkt an menschlichem Gewebe analysieren zu können. Zusätzlich dazu ermöglichen sie die Modellierung von Krankheiten sowie die Durchführung von Toxizitätsstudien oder Medikamententests. Die Ko-Kultur verschiedener Organoide ermöglicht die Untersuchung der Interaktion zwischen verschiedenen Gewebetypen. Das hier gezeigte Assembloid besteht aus einem vaskularisierten Bindegewebsanteil (aus dem mesodermalen Anteil) und einem neuronalen Anteil. Durch die Ko-Kultur wurde eine Vaskularisierung des Nervengewebes (Hirnorganoid) erreicht. So können zum Beispiel neurovaskuläre Interaktionen untersucht werden. Das Gefäßendothel ist rot markiert (PECAM1), während der neurale Teil aus GFP-markierten Stammzellen erzeugt wurde.

**Dienstag, 26. September 2023**

**14:00 Uhr**

---

**Vorprogramm I**

---

**14:00 – 14:15 Uhr**      Opening  
**14:15 – 15:45 Uhr**      Peer Scientific Session I  
**15:45 – 16:00 Uhr**      **Break**  
**16:00 – 18:00 Uhr**      Grant Writing Workshop  
   (with Gabriele Rune and Jochen Staiger)  
**Ab 18:30 Uhr**              Socializing und Get-Together

---

**Mittwoch, 27. September 2023**

**08:30 Uhr**

---

**Vorprogramm II / Mentoring-Programm der Anatomischen Gesellschaft**

**Chairs: Camila Schinner, Sven Schumann, Jochen Staiger**

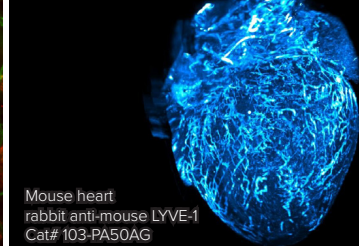
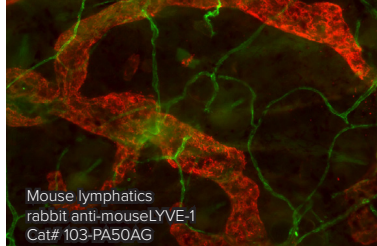
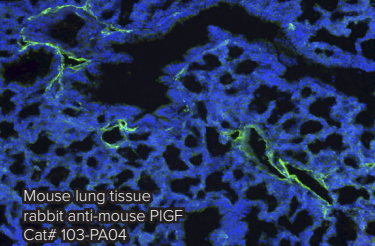
**08:30 – 09:00 Uhr**      Mentee Meeting  
**09:00 – 10:00 Uhr**      Peer Scientific Session II  
**10:00 – 10:15 Uhr**      **Break**  
**10:15 – 11:00 Uhr**      Method Lecture (Edin Busatlija, 10x Genomics)  
   „Transcriptomics and the future of morphology“ (open to  
   all meeting participants)

---

**11:00 – 11:30 Uhr**      **Break**

---





# ReliaTech - reliably yours

We are ISO 9001:2015 certified.

## Angiogenesis • Lymphangiogenesis

Growth Factors • Cytokines • Soluble Receptors  
Monoclonal & Polyclonal Antibodies

### Our Services For You

- Protein Expression and Purification
- Antibody Production
- BioAssay Service
- Reagent Service
- Bulk Service

## Get in touch:

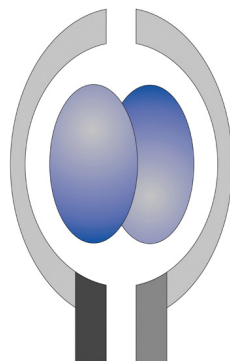
### ReliaTech GmbH

Lindener Str. 15 • 38300 Wolfenbüttel • Germany

Phone: +49 (0) 5331 8586 987

Fax: +49 (0) 5331 8586 989

E-Mail: [orders@reliatech.de](mailto:orders@reliatech.de)



---

11:30 – 11:45 Uhr      **Eröffnung der 117. Jahrestagung  
J. Staiger**

---

11:45 – 13:45 Uhr      **Vorträge/Lectures / 1-8  
Neuroanatomy / Neurobiology I**

---

- 1    **Rachel J., Möck M., Witte M., Staiger J. F. Göttingen**  
Disentangling a L2/3 VIP cell to L4 SST cell circuit motif across primary somatosensory and visual cortices of mouse
- 2    **Tüscher O., Muthuraman M., Horstmann J.-P., Nitsch R., Vogt J. Mainz, Münster and Cologne**  
Altered cortical synaptic lipid signaling leads to intermediate phenotypes of mental disorders
- 3    **Mehlhorn J., Meckenstock L. C., Amunts K., Caspers S., Herold C. Düsseldorf and Jülich**  
How does spatial and non-spatial training affect adult neurogenesis in the avian hippocampus?
- 4    **Dillinger A. E., Hoffmann A. K., Gätke C., Tamm E. R., Fuchshofer R. Regensburg**  
CCN2/CTGF levels affect pathologic angiogenetic processes in oxygen-induced retinopathy
- 5    **Palicz R., Pater B., Truschow P., Witte M., Staiger J. F. Göttingen**  
Intersectional strategy to study cortical inhibitory parvalbumin-expressing interneurons
- 6    **Yuki K., Vallon M., Ding J., Rada C. C., Tang A. T., Vilches-Moure J. G., McCormick A. K., Henao Echeverri M. F., Alwahabi S., Braunger B. M., Ergün S., Kahn M. L., Kuo C. J. Stanford (California), Würzburg (Germany), Philadelphia (The United States)**  
GPR124 regulates murine brain developmental angiogenesis and blood-brain barrier formation by an intracellular domain-independent mechanism

- 7 **Endle H., Horta G., Stutz B., Radyushkin K., Horvath T. L., Nitsch R., Vogt J.** *Cologne, Mainz and Münster (Germany), New Haven (United States)*  
Peripherally derived lysophosphatidic acid controls feeding behavior by modulating glutamatergic transmission at cortical synapses
- 8 **Galanis C., Neuhaus L., Hananeia N., Turi Z., Jedlicka P., Vlachos A.** *Freiburg and Gießen*  
Axon morphology and intrinsic cellular properties determine the threshold for plasticity-induction through repetitive transcranial magnetic stimulation

---

13:45 – 14:15 Uhr      Pause

---

14:15 – 15:15 Uhr      **Keynote Lecture**  
**Marc van de Wetering (Hubrecht Institute, Utrecht)**  
„Modelling diseases in Organoids“

---

15:15 – 16:00Uhr      **Vorträge/Lectures / 9-11**  
Stem Cells / Organoids

- 
- 9    **Wörzdörfer P., Rockel A., Spenger P., Wagner N., Ergün S.** *Würzburg*  
Modeling neural crest cell induction, migration, and peripheral nervous system development in complex human 3D organoid models
- 10   **Gather F., Rauleac T., Akol I., Arumugam G., Müller T., Kleidonas D., Scheibe M., Fischer A., Vlachos A., Backofen R., Vogel T.** *Freiburg, Mainz and Göttingen*  
The lincRNA Pantr1 is a critical mediator of dendritic outgrowth in a murine and human model of FOXG1 syndrome
- 11   **Sanadgol N., Gasterich N., Fragoulis A., Beyer C., Zendedel A.** *Aachen*  
Extracellular vesicles may play a role in the brain Nrf2 activation following Spinal Cord Injury, and leading to the induction of oligodendrogenesis in the subventricular zone

---

16:00 – 16:30 Uhr      Pause

---

16:30 – 18:30 Uhr

**Vorträge 12-19**

Cell Biology I / Imaging

- 
- 12 Niestrawska J.A., Rodewald M., Schultz C., Quansah E., Meyer-Zedler T., Schmitt M., Popp J., Hammer N.** *Graz (Austria), Jena (Germany)*  
Morphological and mechanical mapping of the human dura mater
- 13 Lange T., Weber C., Schlüter R., Endlich N.** *Greifswald*  
Direct exosome transfection with fluorescently labeled small RNAs is a useful tool for exosomal cargo tracking and functional RNAi in cultured podocytes
- 14 Dorn A., Hupp S., Engelhardt M., Neff S., Pion E., Clarke P., Kainz P., Aung T., Haerteis S.** *Regensburg and Deggendorf (Germany), Graz (Austria)*  
Effects of Punicalagin on Osteosarcoma Cell-Lines and Patient Tissue in the 3D-in-vivo-tumor model
- 15 Jüngert K., Adler M., Issoual I., Rückert M., Deloch L., Meier C., Tschernig T., Alexiou C., Pfister F., Ramsperger A., Laforsch C., Gapil U., Paulsen F.** *Erlangen, Homburg/Saar and Bayreuth*  
Effect of micro- and nanoplastic particles (polystyrene microbeads) on human macrophages
- 16 Hannig L., Ergün S., Braunger B., Vallon M.** *Wuerzburg and Erlangen*  
Regulation of hyaloid blood vessel regression by GPR124
- 17 Sigmund A., Bayerbach F., Goebeler M., Vielmuth F., Waschke J.** *Munich and Würzburg*  
Protective effect of apremilast on pemphigus autoantibody-induced loss of cell adhesion is dependent on EPAC1
- 18 Dahlke E., Anan Y., Klie L. M., Hartkopf A., Theilig F.** *Kiel*  
FcRn-/- mice display features of chronic kidney disease
- 19 Franz H., Rathod M., Spindler V.** *Basel (Switzerland)*  
HDAC3 and KLF5 are potential targets for treatment of the blistering skin disease pemphigus vulgaris

18:30 bis 20:30 Uhr – open end

Postersitzung I

(Poster 1 - 72)

21:00 – open end

The committee on "teaching" of the Anatomische Gesellschaft invites all young anatomists to meet over a sponsored drink. The location will be announced on-site

---

**Cell and Stem Cell Biology / Organoids / Developmental Biology /  
Bioprinting / Biomaterials / Experimental Morphology / Gross Anatomy /  
Clinical Anatomy / Methods / Teaching**

- 1 **Bartelt-Kirbach B., Golenhofen N. *Ulm***  
Induction of small heat shock protein HspB5/alphaB-crystallin by celastrol
- 2 **Shokr S. M., Kahlert S., Hradsky J., Rothkötter H.-J., Nossol C. *Magdeburg***  
Influence of propionic acid and Air-Liquid-Interface Cultivation (ALI) on the metabolism of the intestinal porcine epithelial cells (IPEC-J2)
- 3 **Keller M., Paulsen F., Zahn I., Mergler S., Li A., Garreis F. *Erlangen and Berlin***  
Thermosensitive TRP channels in the human meibomian gland
- 4 **Bahlmann O., Shahed T., Schilling A. F., Dullin C., Maronde E. *Frankfurt and Goettingen***  
Period-1 inactivation alters behavioral and morphological phenotypes in C3H mice
- 5 **Demirci H., Popovic S., Dittmayer C., Yilmaz D. E., El-Shimy I. A., Mülleder M., Hinze C., Persson P. B., Mutig K., Bachmann S. *Berlin and Hannover***  
Cyclosporine distinctly damages proximal tubules, tacrolimus the filtration barrier in calcineurin inhibitor nephrotoxicity
- 6 **Hiermaier M., Egu D., Waschke J. *München***  
The multi-kinase inhibitor Midostaurin mitigates loss of intercellular adhesion and skin blistering in pemphigus vulgaris
- 7 **Hamarsheh D., Poharkar K., Perniss A., Keshavarz M., Pfeil U., Kummer W. *Giessen and Augsburg (Germany), Boston (United States)***  
Solitary chemosensory cells in the respiratory tract of man

- 
- 8 **Keller M., Heiden R., Ergün S., Braunger B. M., Vallon M.** *Würzburg and Erlangen*  
Identification of WNT7-specific frizzled receptors
  - 9 **Kliewe F., Francescapaola M., Hammer E., Ameling S., Lio C. T., Endlich K., Zimmermann U., Stracke S., Baumbach J., Tsoy O., Völker U., Endlich N.** *Greifswald and Hamburg*  
Alternative splicing in mechanically stretched podocytes as a model of glomerular hypertension
  - 10 **Buhrmann C., Brockmueller A., Shakibaei M.** *Augsburg and Munich*  
Calebin A, Inflammation and Colorectal Cancer: How are they linked?
  - 11 **Hintze M., Franz T.** *Bonn*  
Phospholipase Cd1 and Cd3 double-mutant mice develop cardiac fibrosis due to aberrant NFAT signalling and epicardial cell reactivation
  - 12 **Hohmann T.-M., Dieterich A., Seigfried F. A., Britsch S.** *Ulm*  
Genetic analysis of Bcl11a in murine cerebellar development
  - 13 **Rau A.-L., Schicht M., Ali M. J., Coroneo M. T., Paulsen F.** *Erlangen (Germany), Hyderabad (India), Sydney (Australia)*  
The efferent tear ducts as an entry point for SARS-CoV-2
  - 14 **Müller-Marienburg L., Dahlke E., Theilig F.** *Kiel*  
In vivo pathway of endocytosed albumin in renal proximal tubular cells
  - 15 **Elashry M. I., Heimann M., Klymiuk M. C., Wenisch S., Arnhold S.** *Giessen*  
Impact of the extracellular vesicles treatment on the myogenic differentiation capacity of skeletal muscle stem cells
  - 16 **Stein M., Becker-Ewert M., Tohidnezhad M., Pufe T.** *Aachen*  
Investigation of NRF2 on skin regeneration and ageing under influence of PRGF stimulation
  - 17 **Lange T., Bach S.-M., Koppe T.-M., Klann A., Weise A., Pilz R. A., Loth N., von Rheinbaben S., Stracke S., Endlich N.** *Greifswald and Jena*  
Generation of a human induced pluripotent stem cell (iPSC) line from urinary cells of a patient suffering from chronic kidney disease
  - 18 **Abdel Wadood N., Evers S., Englisch C., Aouragh N., Elhawy M. I., Herges A., Herr C., Bals R., Gudermann T., Chubanov V., Yildiz D., Bischoff M., Boehm U., Krasteva-Christ G.** *Homburg and Munich*  
Tracheal brush cells modulate immune responses during airways inflammation through TRPM5 channel activation

- 
- 19 **Rockel A., Wagner N., Ergün S., Gerull B., Wörsdörfer P.** *Wuerzburg*  
Generation of complex 3D cardiac organoids from human
- 20 **Schröder N., Engelage L., Bednarek L., Nolting J., Kaplan D., Pufe T., Fragoulis A.** *Aachen*  
Modulation of Nrf2 in the tumor immune microenvironment (TIME) to affect tumor characteristics
- 21 **Schuster K., Staffeld A., Zimmermann A., Böge N., Lang S., Frintrop L.** *Rostock*  
Starvation in Mice Induces Liver Damage Associated with Autophagy
- 22 **Hachmann M., Güntas G., Liebisch G., Höring M., Maack C., Ergün S., Dudek J., Karnati S.** *Würzburg and Regensburg (Germany), Istanbul (Turkey)*  
Quantitative lipidomic analysis of tafazzin-knockdown mouse hearts give new insights in BTHS cardiomyopathy
- 23 **Kajese E. V., Hachmann M., Maack C., Dudek J., Karnati S., Higuchi T.** *Wuerzburg*  
Role of peroxisomes in compensatory metabolic adaptation in heart failure
- 24 **Pratama A. M., Bömmel H., Ergün S., Karnati S.** *Wuerzburg*  
The Role of Peroxisomes in Atherosclerosis: Insights from CEACAM1-Deficient Bone Marrow-Derived Macrophage (BMDM)
- 25 **Hahn M., Surchev L., Tsikolia N.** *Goettingen*  
Long cellular protrusions interconnect distant cells in the gastrulating chick embryo
- 26 **Bömmel H., Berberich L., Köbler J., Ergün S., Karnati S.** *Wuerzburg*  
Peroxisomes in megakaryocytes and platelets?
- 27 **Dogan L. E., Chicaiza-Cabezas N., Groll J., Ergün S., Wörsdörfer P.** *Wuerzburg*  
Biofabrication of blood vessels from hiPSC-derived mesodermal progenitor cells
- 28 **Kirchner J., Ahmad T., Groll J., Ergün S., Wörsdörfer P., Dogan L.** *Wuerzburg*  
Large Scale production of Blood Vessel Organoids as building blocks for Biofabrication



- 
- 29 **Kindermann A., Quandt D., Glaß M., Kielstein H.** *Halle (Saale)*  
T cell microRNAs and their impact on myelodysplastic neoplasms
- 30 **Steinert L. S., Didona D., Hudemann C., Möbs C., Hertl M., Waschke J., Vielmuth F.** *Munich and Marburg*  
Desmosomal hyper-adhesion protects keratinocytes from pemphigus autoantibody-induced loss of intercellular adhesion without changing antibody binding and Dsg3 interaction partners
- 31 **Heilen L., Roßgardt J., Staszyc C.** *Giessen*  
Regeneration in the equine dental pulp
- 32 **Klymiuk M., Bodens P., Elashry M., Wolf-Hofmann K., Wenisch S., Arnhold S.** *Giessen*  
Effect of shock waves on the adipogenic differentiation of mesenchymal stem cells
- 33 **Zahn I., Schikorra T., Gleixner S., Garreis F., Dietrich J., Paulsen F.** *Erlangen*  
Influence of melanocortin receptors in human meibomian glands
- 34 **Dittmar M., Tohidnezhad M., Fragoulis A., Bücken A., Pufe T., Kubo Y.** *Aachen*  
Methysticin and L-Sulforaphane activate the Nrf2/ARE pathway in MLO-Y4 osteocytes: in vitro study
- 35 **Beyersdorfer V., Wanuske M.-T., Stüdle C., Rathod M., Franz H., Spindler V.** *Basel (Switzerland)*  
Loss of Desmocollin 1 alters proliferation and differentiation in reconstructed human epidermis
- 36 **vom Scheidt A., Niestrawska J., Schulze-Tanzil G., Möbius D., Ondruschka B., Hammer N.** *Graz (Austria), Nuremberg and Hamburg (Germany)*  
Investigation of nanoscale deformation of collagen in the human broad ligament of the uterus using small-angle X-ray scattering and histology
- 37 **Gleixner S., Singh S., Drobny A., Schneider Y., Socher E., Zahn I., Dietrich J., Bavet N., Bräuer L., Gostian A.-O. Balk M., Schulze-Tanzil G., Paulsen F., Arnold P.** *Erlangen, Straubing and Nuremberg (Germany), Hyderabad (India), Brno (Czech Republic)*  
Characterization of immortalized human lacrimal gland epithelial cells in 2D and 3D cell culture models

- 
- 38 Heiden R., Ergün S., Braunger B., Vallon M. Würzburg**  
Purification of RECK-associated proteins from brain endothelial cells using combined in situ chemical crosslinking and affinity chromatography
- 39 Poharkar K., Perniss A., Mahmoud W., Hamarsheh D., Kummer W., Deckmann K. Giessen (Germany), Boston (USA), Irbid (Jordan)**  
Ionocytes in the Murine Urethral Epithelium
- 40 Schlegel N., Knop J.-L., Danesh M., Dandekar T., Srivastava M., Hiermaier M., Waschke J., Flemming S., Burkard N. Wuerzburg and Munich**  
Soluble VE-cadherin disrupts endothelial barrier function via VE-PTP/RhoA signaling
- 41 Claassen H., Venghaus F., Hiepe L., Wree A. Erlangen and Rostock**  
Anatomical analysis of a hallux valgus foot pair in comparison to a normal one
- 42 Frank N., Nagai M., Förster C. Y. Wuerzburg (Germany), Hiroshima (Japan)**  
Transcutaneous vagus nerve stimulation as a treatment option for adjuvant brain metastasis prevention and brain cancer therapy
- 43 Schurr L., Schön M., Steinestel K., Arndt A., Böckers T. M., Böckers A. Ulm**  
Predictive molecular pathology after long-term formalin fixation: a study on tissue from body donors in the gross anatomy course
- 44 Eckstein F., Wisser A., Roemer F., Berenbaum F., Maschek S., Wirth W. Salzburg (Austria), Freilassing and Nuremberg (Germany), Lille (France)**  
Validation of automated analysis of cartilage transverse relaxation time (T2) using convolutional neural networks (CNNs) in knees with and without MRI cartilage damage – on behalf of the OA-BIO consortium
- 45 Giesenow A., Sanchez Carpio C., Filgueira L., Eppler E. Córdoba (Spain), Fribourg and Bern (Switzerland)**  
Vascular coloured latex injection as a feasible facilitator of dissection and deeper learning of anatomy of the hand
- 46 Mirontsev A., Dydykin S., Kolesova L., Kapitonova M., Gupalo S., Mikutskaya-Getman N., Vasil'ev Y. Moscow and Stavropol (Russia), Sarawak (Malaysia), Anguilla (United Kingdom)**  
Features of clinical anatomy of facial ligaments

- 
- 47 **Storsberg S. D., Petzold S., Fischer K., Oelschlegl A., Schumann S.** *Neruppin, Magdeburg and Mainz*  
An hitherto unknown variation of the arterial supply of the liver – new insights into vitelline artery development
- 48 **Seyedian Moghaddam A., Reisig L. F., Geyer S. H., Weninger W. J.** *Vienna (Austria)*  
Arteriovenous Anastomoses of the Hoyer Grosser type in the subungual region of human fingers
- 49 **Chen X., Wang K., Jiang S.** *Guangzhou (China), Leipzig (Germany)*  
Three dimensional-CT reconstructive evaluation of the shoulder joint bone-to-bone spacing values in non-European population
- 50 **Wolf-Vollenbröker M., Petow S., Schmidbauer M., Fellmin M., Ulrich R., Mehlhorn J.** *Duesseldorf, Celle, Leipzig and Rommerskirchen*  
Skull morphology and brain size in crested chicken (*Gallus gallus* f.d.) with cerebral hernia
- 51 **Stäber M., Graef J., Brockstedt L., Schumann S.** *Mainz*  
The interincisive suture in humans – fact or fiction?
- 52 **Weninger J., Didava G., Pruidze P., Weninger W.** *Vienna (Austria)*  
Bilateral insertion of axillary arches at the medial epicondyle of the humerus via a chondroepitrochlearis muscle
- 53 **Wolf-Vollenbröker M., Piermaier L., mon O'Dey D., Filler T. J.** *Düsseldorf and Aachen*  
Histomorphological Fundamentals of the Human Clitoris: Distribution and Density of Different Sensory Corpuscles
- 54 **Ginoski V., Kahlert S., Saliu E.-M., Grześkowiak L., Schulze Holthausen J., Rothkötter H.-J.** *Magdeburg and Berlin*  
Goblet cell staining and mucin preservation in the mucosa of different segments in the porcine intestine: effects of Carnoy's fixative and modified alcian blue/periodic acid Schiff and mucicarmine staining
- 55 **Wozniak S., Paulsen F.** *Wroclaw (Poland), Erlangen (Germany)*  
Lunate fossa (fossa lunata). An anatomical landmark of the wrist
- 56 **Zwinz S., Schwendt K.** *Vienna (Austria)*  
Annuloplasty of the Mitral Valve - Accuracy of Anterior Leaflet Sizers
- 57 **Jahr V., Holtmann C., Geerling G., Piermaier L., Filler T. J.** *Duesseldorf*  
On a specific proprioceptive layer in the outer eye muscles

- 
- 58 **Handke E., Schmid G., Wolf-Vollenbröcker M., Filler T. J.** *Duesseldorf and Neuss*  
On the Lumbar Okada Space
- 59 **Hainfellner A., Renner U., Kuzdas-Wood D., Weninger W.** *Vienna (Austria)*  
Evaluating virtual reality-based anatomy courses in addition to traditional anatomic teaching methods: lessons from the first semester of the Medical Curriculum Vienna
- 60 **Dethleffsen K., Oldenburg R., Waschke J., Kugelmann D.** *Munich and Augsburg*  
On the importance of hands-on dissection courses for student's learning experience
- 61 **Hinganu M. V., Hinganu D., Lozneau L., Cucu P. R.** *Iași (Romania)*  
New perspectives in arterial blood supply of the facial skin
- 62 **Hinganu D., Hinganu M. V., Lozneau L.** *Iași (Romania)*  
The muse from the Pharynx
- 63 **Schwendt K., Zwinz S., Pruidze P., Gottardi R., Czerny M., Weninger W. J.** *Vienna (Austria), Freiburg im Breisgau (Germany)*  
Is the tricuspid valve tricuspid?
- 64 **Heimke M., Heinze T., Pochhammer J., Strey C. W., Wedel T.** *Kiel and Hannover*  
Novel techniques for hernia surgery require a subtle revisiting of the topographic anatomy of the ventral abdominal wall
- 65 **Piermaier L., Herold C., Wolf-Vollenbröcker M., Brzoska P., Bechler E., Filler T. J.** *Düsseldorf*  
Proprioceptors of the human pericardium
- 66 **Meuser A., Henyš P., Höch A., Gänsslen A., Hammer N.** *Graz (Austria), Liberec (Czech Republic), Leipzig and Wolfsburg (Germany)*  
Biomechanical analysis of external fixators for the initial treatment of pelvic instability
- 67 **Gorissen B., Munneke M., Schepens-Franke A., Vorstenbosch M.** *Nijmegen (The Netherlands)*  
Experiences with student response systems in large group anatomy teaching

- 68 Keiler J., Venghaus F., Uzdil J., Schuler H., Bast A., Warnke P., Kipp M. Rostock**  
Lactic acid-based fixatives as non-toxic and non-carcinogenic substitutes for body embalming – a pilot study by means of murine corpses
- 69 Tracicarul R.-V., Hînganu M. V., Bräuer L., Paulsen F. Iași (Romania), Erlangen (Germany)**  
Vocalis muscle arrangement - a way for contraction to influence vocal oscillatory properties
- 70 Trinh S., Kogel V., Kneisel L., Müller-Limberger E., Herpertz-Dahlmann B., Beyer C., Seitz J. Aachen**  
Alteration of gut microbiota and brain parameters after refeeding in an anorexia nervosa rat model
- 71 Mavrommatis L., Jeong H.-W., Kindler U., Schöler H. R., Vorgerd M., Brand-Saberi B., Zaehres H. Bochum and Muenster**  
Human skeletal muscle organoids recapitulate fetal myogenesis and sustain uncommitted PAX7 myogenic progenitors
- 72 Siddiki A. Istanbul (Turkey)**  
Quantum sensor for intracellular potential distribution

# Lehren Sie mit der weltweit fortschrittlichsten 3D-Anatomie-Plattform

Von Expert\*innen geleitete Kurse, bewährte Ressourcen und atemberaubend detaillierte weibliche und männliche Modelle. Machen Sie die Anatomie interaktiv, auch außerhalb des Sezierraums.

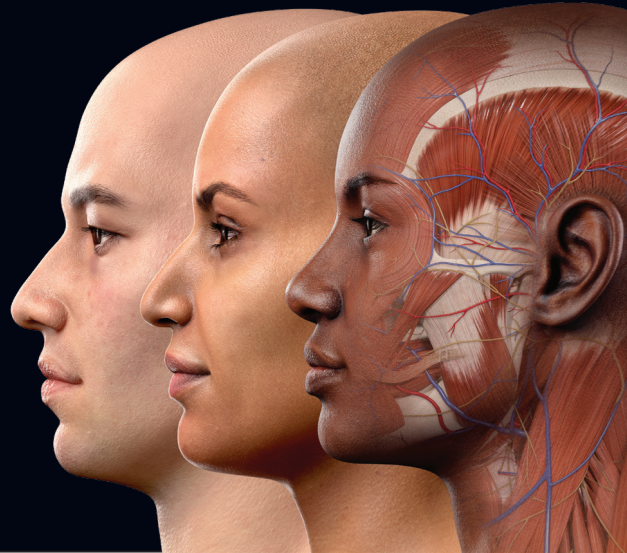
Über **300** Vorlesungen

**Tausende** von Bild Darstellungen

Über **1.500** Videos

Wird von über **500** Institutionen weltweit genutzt

Über **3 Millionen** Nutzer\*innen



Mehr Informationen  
<https://else4.de/CA-AG23>

**Complete Anatomy**



08:15 – 9:45 Uhr

**Vorträge/Lectures 20 – 25**

Neuroanatomy / Neurobiology II / Developmental Biology

---

- 20 **Wiegrefe C., Babal Y. K., Chen Y., Dvoretzkova E., Koutnik J., Gässler S., Liu P., Mayer C., Britsch S.** *Ulm and Martinsried (Germany), Innsbruck (Austria), Hong Kong (China)*  
Establishment of pan-glutamatergic subtype diversification in the cortex depends on Bcl11a and Bcl11b
  - 21 **Koumoundourou A., Rannap M., De Bruyckere E., Nestel S., Reißner C., Egorov A., Liu P., Missler M., Heimrich B., Draguhn A., Britsch S.** *Ulm, Heidelberg, Freiburg and Münster (Germany), Hong Kong (China)*  
Regulation of hippocampal mossy fiber-CA3 synapse function by a Bcl11b/C1ql2/Nrxn3(25b+) pathway
  - 22 **Kyrychenko V., Rensinghoff P., Bulk J., Heermann S.** *Freiburg*  
Holoprosencephaly with cyclopia or anophthalmia result from alterations in BMP signaling
  - 23 **Wiemann S., Lancelle L., Potru P. S., Hoener F., Spittau B.** *Bielefeld*  
Postnatal microglial heterogeneity along a spatio-temporal axis
  - 24 **Lambertz J., Schumacher S., Klose L., Odermatt B., Fester L.** *Bonn*  
Presenilin /  $\gamma$ -Secretase – mediated signaling is crucial for cell migration in brain development
  - 25 **Catanese A.** *Ulm*  
Heterozygous loss of Syt13 reproduces ALS features and induces cellular vulnerability in human motoneurons
- 

9:45 – 10:15 Uhr

**Pause**

---

**10:15 – 11:15 Uhr    Keynote Lecture**

**Thomas Braun, MPI Bad Nauheim**

“Plasticity of cardiomyocytes during development and heart regeneration”

---

**11:15 – 12:00 Uhr    Vorträge/Lectures 26 – 28**

Cell Biology II / Imaging

---

- 26 Kleefeldt F., Goetz L., Rueckschloss U., Boemmel H., Balk G., Wagner N., Ergün S. *Wuerzburg***  
Mechanistic insight into vascular inflammaging: TNF-ALPHA mediates CEACAM1 expression in endothelium by NF-κB and BETA-Catenin in a biphasic manner
- 27 Stangner K., Derivishi O., Kuhnert J., Wendt C., Shoykhet M., Mortzadeh S., Pathak S., Waschke J., Yeruva S. *Munich***  
Apremilast, a PDE4 inhibitor, enhances cardiomyocyte cohesion in a plakoglobin-dependent manner and may have therapeutic potential to treat arrhythmogenic cardiomyopathy
- 28 Hachmann M., Güntas G., Bömmel H., Liebisch G., Maack C., Ergün S., Dudek J., Karnati S. *Würzburg and Regensburg (Germany), Istanbul (Turkey)***  
The role of peroxisomes in Barth syndrome cardiomyopathy



12:00 – 13:15 Uhr                      **Mittagspause und  
„Meet the Vorstand“**

---

13:15 Uhr

13:15 – 14:15 Uhr                      **Keynote Lecture**  
**Andreas Trumpp, DKFZ-Heidelberg**  
“From Stem Cells in Leukemia to Neurons in  
Pancreatic Cancer”

---

14:15 – 15:00 Uhr                      **Vorträge/Lectures 29 – 31**  
Cell Biology III / Tumor Biology

---

- 29 Hohmann T. Halle (Saale)**  
Cell density and tension induce a jamming transition leading to migratory arrest in astrocytes and glioblastoma
- 30 Brackmann K., Wagner B., Ettner-Sitter A., Aung T., Hackl C., Härteis S. Regensburg and Deggendorf**  
3D-in-vivo-tumor-model for the investigation of chemosensitivity in pancreatic ductal adenocarcinoma
- 31 Arnold P., Möbus L., Rathod M., Spindler V., Paulsen F., Lückstädt W. Erlangen and Kiel (Germany), Tampere (Finland), Basel (Switzerland)**  
The oncogenic functions of CD109

---

15:00 – 15:30 Uhr

Pause

---

15:30 – 16:00 Uhr

**Invited Lecture, Horst-Werner Korf (Düsseldorf)**  
„ The hypophysial pars tuberalis - an interface in the neuroendocrine system “

---

16:00 – 17:00 Uhr

**Vorträge/Lectures 32 – 35**  
Methods / Teaching

- 
- 32 Heinze T., Heimke M., Fletcher J., Miskovic D., Benz S., Stelzner S., Wedel T. Kiel, Böblingen and Leipzig (Germany), Harrow (UK)**  
The retrocolic fascial system revisited – surgical anatomy required for oncologic right hemicolectomy with complete mesocolic excision
- 33 Benker S.C., Eisner E., Dogan E., Rasmus M., Bostedt D., Wagner F., Schmitz M., Missler M., Darici D. Münster**  
Promoting interprofessionalism in anatomy: A pilot study
- 34 Filler T. J., Brzoska P., Shufang L., Freudenmacher L., Schwerter M., Caspers S. Düsseldorf and Munich**  
On the curricular applicability of Mixed Reality in the dissection course
- 35 Antipova V., Siwetz M., Engelhardt M., Fellner F. A., Manhal S., Niedermair J. F., Ondruschka B., Pietras S. M., Poilliot A. J., Pretterklieber M. L., Wimmer-Röll M., Wree A., Hammer N. Graz, Linz (Austria), Hamburg and Rostock (Germany), Basel (Switzerland)**  
A comparison of 1- versus 3-month regional anatomy exposure on learning outcomes of undergraduate medical students

---

17:00 – 17:15 Uhr

Pause

---

17:00 – 18:45 Uhr

Mitgliederversammlung

---

18:45 – 20:45 Uhr

Postersitzung II (Poster 73 - 126)

---

**Tissue Regeneration / Neuroanatomy / Neurobiology /  
Neuroimmunology / Neuroregeneration /  
Developmental Biology / Immune Biology / Reproductive Biology**

- 73 Hohmann U., Boerscheper S., Hohmann T., Ghadban C., Dehghani F.** *Halle (Saale)*  
Effects of microglia driven inflammation on glioblastoma cells
- 74 Köper F., Hausmann J., Brandt N., Heep A., Plösch T.** *Oldenburg (Germany), Groningen (The Netherlands)*  
FLIM-FRET Analysis Reveals PRG5 Multimerization at the Cellular Level
- 75 Vankriekelsvenne E., Kipp M., Joost S.** *Rostock*  
Heterogeneous immune cell distribution in murine meninges
- 76 Brode R., Wiegrefe C., Britsch S.** *Ulm*  
Characterization of isoform-specific expression and function of Bcl11a in the central nervous system
- 77 Erdmann-Wolff I., Krause G. M., Redavide E., Müller A., Dieterich D. C., Stork O., Albrecht A.** *Magdeburg*  
Stimulation of autophagy in hippocampal neurons by Neuropeptide Y

- 
- 78 **Reuss B., Hansen N., Wiltfang J.** *Goettingen*  
Neither cerebrospinal fluid nor blood serum of Alzheimer's patients contain Antibodies to the Amyloid- $\beta$ -clearance factor low-density-lipoprotein-receptor-associated-protein Lrpap-1
- 79 **Gasterich N., Schmitz F., Rantchev A., Beyer C., Clarner T.** *Aachen and Bonn*  
Insights from in vitro studies: lipocalin 2 as modulator of the blood-brain barrier integrity and immune cell invasion in multiple sclerosis
- 80 **Chertes C., Mayadali Ü., Horn-Bochtler A.** *Munich*  
Ion Channels in Motoneurons of the Human Trochlear Nucleus
- 81 **Metzger D., Rotondo F., Schmeisser M. J., Schumann S., Krueger-Burg D.** *Mainz*  
Distribution of IgSF9b at GABAergic and glutamatergic synapses in mouse and human brain
- 82 **Horn A., John M., Jorge Kattah Mayadali Ü., John M., Abspacher M., Roeber S., Herms J., Shaikh A.** *Munich (Germany), Peoria and Cleveland (United States)*  
Profile of ion channels and transmitter-related molecules in saccade burst generator neurons in a post-mortem case of opsoclonus
- 83 **Kepser L.-J., Götz J., Endle H., Kuhnhäuser P., Johannes Vogt J.** *Cologne*  
Role of synaptic lipid modulated cortical excitability in motor control - importance for brain disorders
- 84 **Peitz K., Stumme J., Jockwitz C., Bittner N., Heim S., Caspers S.** *Duesseldorf and Aachen*  
The influence of bilingualism on gray matter volume in the course of aging
- 85 **Wurm J., Andressen C., Spittau B.** *Bielefeld*  
Microglia Affect Proliferation, Differentiation, and Apoptosis of Striatal Neural Progenitors
- 86 **Freudenmacher L., Korf H.-W., Caspers S.** *Duesseldorf and Juelich*  
Advancing Tract-Tracing in the Postmortem Human Brain: Visualization of Fiber Tracts and Cortical Connectivity in the Occipital Lobe
- 87 **Jülich N., Scheld M., Gasterich N., Zendedel A., Beyer C., Sanadgol N.** *Aachen (Germany), Basel (Switzerland)*  
The effect of BV-2 cell-derived exosomes on primary mouse astrocytes

- 
- 88 **Mansori I., Truschow P., Witte M., Staiger J.** *Goettingen*  
Morphological subtypes of neocortical somatostatin-expressing interneurons in mice
- 89 **Elhawy M. I., Biradli F., Krasteva-Christ G.** *Homburg*  
Activation of tracheal brush cells induces TRPV1-mediated neurogenic inflammation
- 90 **Cetin A., Guy J., Staiger J.** *Goettingen*  
Investigating the role of interneuron populations in whisking behavior through chemogenetics
- 91 **Hahn N., Erdmann I., Lokau J., Garbers C., Albrecht A.** *Magdeburg*  
The effect of interleukin 11 on plasticity-relevant proteins in murine hippocampal cells
- 92 **Müllerbauer L., Hofmann N., Neueder A., Vallon M., Ergün S., Schlecht A., Barbara Braunger B.** *Wuerzburg and Ulm*  
The role of endothelial Tgf-BETA signaling and microglia in laser-induced choroidal neovascularization
- 93 **Hablowitz S., Hintze M., Klose L., Enders M., Voos W., Kürten S.** *Bonn*  
The effect of dihydropyridines on mitochondrial stress in human neurons, oligodendrocytes and astrocytes
- 94 **Kümmel M.-L., Förster E.** *Bochum*  
Reelin impacts the neuronal cholinergic signal transmission and posttranscriptional protein modifications
- 95 **Kruse P., Vlachos A., Lenz M.** *Freiburg and Hannover*  
The spine apparatus organelle regulates lesion-induced homeostatic plasticity at hippocampal mossy fiber synapses
- 96 **Brandt N., Willmer J.-P., Ayon-Olivas M. S., Banicka V., Martin Witt Wree A., Groß I., Gläser A., Hausmann J., Bräuer A. U.** *Oldenburg, Rostock and Dresden*  
PRG3 and PRG5 C-Termini: Important Players in Early Neuronal Differentiation
- 97 **Chu Y.-H., Sagar S., Schaffer A., Schramm E., Jordão M. J. C., Prinz M., Minguet S., Schachtrup C.** *Freiburg*  
Immunomodulation by resident neural stem cells suppresses chronic inflammation

- 
- 98 Vieregge F., Hohmann T., Ghadban C., Rothgänger-Strube C., Urszula Hohmann, Dehghani F. Halle (Saale)**  
Effects of the cannabinoids 2-Arachidonylglycerol and WIN 55,212-2 on primary isolated astrocytic cultures and astrocytic-microglial co-cultures
- 99 Schicht M., Farger J., Lütjen-Drecoll E., Paulsen F. Erlangen**  
Ocular surface changes differ significantly in oxaliplatin - and diabetes induced polyneuropathy
- 100 Farid K., Maronde E., Lerchundi R., Rose C. R., Derouiche A. Frankfurt/Main and Duesseldorf**  
mGluR5 dependent mitochondrial translocation of PKC $\delta$ : A mechanism raising astrocytic oxidative metabolism in response to neuronal activity
- 101 Hensel A., Ghadban C., Rothgänger-Strube C., Hohmann U., Hohmann T., Dehghani F. Halle (Saale)**  
Modulation of glial inflammatory reactions by Gpr55
- 102 Ruß T., Graf V., Spittau B., Busche T. Bielefeld**  
Inducible CSF1R-dependent microglia depletion in vivo
- 103 Müller J., Darwisch W., Curticean E., Wacker I., Schröder R., Schultz C., Islinger M. Mannheim and Heidelberg**  
Retinal degeneration in a mouse model for the peroxisomal disorder ACDB5-deficiency
- 104 Antipova V., Heimes D., Seidel K., Schulz J., Schmitt O., Holzmann C., Rolfs A., Bidmon H., Keiler J., Hammer N., Witt M., Wree A. Graz (Austria), Rostock, Hamburg, Duesseldorf and Dresden (Germany)**  
Differently increased Volumes of Multiple Brain Areas in NPC1 Mutant Mice Following Various Drug Treatments
- 105 Käver L., Trinh S., Voelz C., Herpertz-Dahlmann B., Beyer C., Seitz J. Aachen**  
Probiotics prevent increase of gut-associated lymphatic tissue after food restriction in an anorexia nervosa animal model
- 106 Böge N., Zimmermann A., Schuster K., Lang S., Gill S., Frintrop L. Rostock**  
Glial cell changes in the corpus callosum and hypothalamus in chronically-starved mice
- 107 Joost S., Vankriekelsvenne E., Schilling B., Kipp M. Rostock**  
Regional heterogeneity and inflammatory properties of human meninges

---

108

109 **Turi Z., Sarlak A., Vlachos A.** *Freiburg*

Where does transcranial magnetic stimulation stimulate neurons? A Multi-scale computational modeling study of human brain anatomy

110 **Voelz C., Käver L., Tran M.-T., Kuo C.-C., Franzen J., Beyer C., Seitz J., Trinh S.** *Aachen*

Implication of miRNA in the eating disorder Anorexia nervosa

111 **Röderer P., Zwilling M., Epplen A., Theiss C., Matschke V.** *Bochum*

Unlocking the Power of NAD: Boosting Neuronal Protection in ALS with NMNAT2 and Caffeine

112 **Gebert M., Heimbucher J., von Holst P., Tamm E. R.** *Regensburg*

GFAP deficiency increases age-related loss of retinal ganglion cell axons

113 **Socher E., Paulsen F., Zunke F., Arnold P.** *Erlangen*

Molecular Case Study of a GALC Mutation Causing Infantile Krabbe Disease

114 **Stahlke S., Frai J., Matschke V., Theiss C., Weber T., Herzog-Niescery J.** *Bochum*

Rocuronium induced global cerebral hypoxia - a new minimal invasive rat model

115 **Kriebel J., Kahlert S., Saliu E.-M., Grześkowiak L., Schulze Holthausen J., Rothkötter H.-J.** *Magdeburg and Berlin*

Nutrition dependent morphology changes in gut immune system of the domestic pig, *sus scrofa*

116 **Gouws K., Bester B., Tasch S., Kampschulte M., Middendorff R.** *Giessen*

The neglected excretory duct system of the human prostate

117 **Pabst R., Solveig D. A., Todt-Brenneke M., Herden A., Schmiedl A.** *Hannover*

Compartments in human lymph nodes up to 15 years of age

- 
- 118 Schindler M., Trohl J., Buske M., de Nivelle J., Toto Nienguesso A., Navarrete Santos A.** *Halle (Saale)*  
Advanced maternal age alters embryo – maternal communication during the preimplantation period – insights from the rabbit model
- 119 Schampel A., Schierloh L.-K., Tune C., Westermann J.** *Luebeck*  
Splenic compartments differ in their T cell receptor repertoire -already in the naive state
- 120 Elhawy M. I., Sabachvili M., Abdel Wadood N., Wyatt A., Bischoff M., Iden S., Boehm U., Krasteva-Christ G.** *Homburg*  
Tracheal brush cells contribute positively to the phagocytosis of *Pseudomonas aeruginosa* by dendritic cells
- 121 Schumacher S., Klose L., Lambertz J., Kürten S., Fester L.** *Bonn*  
The mitochondrial protease PARL is required for spermatogenesis
- 122 Ai D., Kreyling L., Bhushan S., Meinhardt A., Pleuger C.** *Giessen*  
The role of resident macrophages in the immune response to bacterial infection of the murine epididymis
- 123 Tohidnezhad M., Kubo Y., Slowik A., Bücker A., Fragoulis A., Schraven S., Jahr H., Kießling F., Pufe T.** *Aachen (Germany), Fukuoka (Japan)*  
The role of Nrf2 and it´s over-activation in endochondrale ossifikation
- 124 Barapatre N., Achterhold K., Kampfer C., Rübemann T., Edler von Koch F., Pfeiffer F., Schmitz C., Frank H.-G.** *Munich*  
From a Single Villous Tree to Whole Placentome – Quantitative Imaging of the Placental Villous Architecture by Micro-CT
- 125 Neckel P., Scharr M., Scherer S., Hirt B.** *Tübingen*  
Neurogenesis in the postnatal Enteric Nervous System: New-born Neurons throughout life – and beyond?
- 126 Gellisch M., Wolf O. T., Minkley N., Kirchner W. H., Moser D. A., Morosan-Puopolo G., Brüne M., Zähres H., Brand-Saberi B.** *Bochum*  
Psychobiological Responses and Emotional Dynamics in the Transition from Face-to-Face to Online Anatomy Education



# Anatomielösungen

Nutzen Sie dynamische, interaktive digitale Ressourcen für die menschliche Anatomie und verbessern Sie die Lernprozesse der Studierenden. Steigern Sie das Engagement, unterstützen Sie selbstgesteuertes Lernen und integrieren Sie Inhalte problemlos in Ihre Anatomiekurse und Lehrpläne.

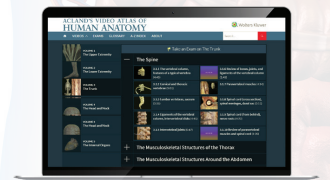
## BioDigital XR - 3D Anatomielösung des menschlichen Körpers

BioDigital XR schafft ein **standardisiertes Rich-Media-3D-Erlebnis**, das über die virtuelle und erweiterte Realität hinausgeht, um überall und auf jedem Gerät zu lernen.



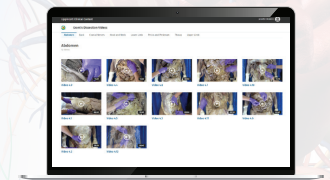
## Acland's Video Atlas of Human Anatomy®

**3D-Rotationsvideos der Grobanatomie**, die jede Region des menschlichen Körpers abdecken, mit **echten Leichenpräparaten**.



## Grant's Dissection Videos

Eine Sammlung von **77 hochauflösenden Videos** mit einer Gesamtlänge von **mehr als 14 Stunden**, die die **Grant'sche Methode** der Sezierung von menschlichen Kadavern demonstrieren und beschrieben wird.



Um mehr über die Anatomielösungen von Ovid zu erfahren, kontaktieren Sie das Ovid-Team – [germany@ovid.com](mailto:germany@ovid.com)

---

**08:15 – 9:45 Uhr Vorträge/Lectures 36 – 41**

Neurobiology III, Neuroimmunology, Neuroregeneration

- 
- 36 Langenhan T., Dahse A.-K., Kemkemer M., Bormann A., Auger G. M., Vieira Contreras F., Ernst L. F., Staake H., Körner M. B., Buhlan M., Meyer-Mölck A., Chung Y. K., Blanco-Redondo B., Klose F., Jarboui M. A., Ljaschenko D., Bigl M., Scholz N. Leipzig and Tübingen**  
A transgenic system for sensing mechano- and ligand-dependent adhesion GPCR dissociation
- 37 Schlecht A., Boeck M., Wolf J., Boneva S., Müllerbauer L., Hofmann N., Ergün S., Wieghofer P., Braunger B., Lange C. Würzburg, Freiburg, Augsburg, Erlangen and Münster(Germany), Boston and Palo Alto (United States)**  
Microglia involvement in neovascular eye diseases – Temporo-spatial and transcriptional profiling across disease types
- 38 Hawlitschka A., Giesler P., Schliep D., Kipp M. Rostock**  
Elaborated gait analysis using high-speed ventral plane videography allows the detection of central nervous lesions in the murine cuprizone-induced multiple sclerosis model
- 39 Potru P. S., Philippsen R., Spittau B. Bielefeld**  
Epigenetic basis of microglia specific gene signature
- 40 Zambusi A., Novoselc K. T., Ninkovic J. Munich**  
TDP-43 condensates and lipid droplets regulate the reactivity of microglia and regeneration after traumatic brain injury
- 41 Kiy Z., Chaud J., Xu L., Brandhorst E., Kamali T., Hong H., Specht A., Cambridge S. Heidelberg, Mannheim and Frankfurt am Main (Germany), Strasbourg (France), Jefferson (United States)**  
Towards a light-mediated gene therapy for the eye - retinal transgene expression through photoactivation of caged ethinylestradiol and the inducible Cre/lox system
- 

**9:45 – 10:00 Uhr Pause**

**10:00 – 11:15 Uhr Vorträge/Lectures 42-46**

Cell Biology IV / Developmental Biology / Reproductive Biology

---

- 42 Bester B., Nowell C., Whittaker M. R., Pilatz A., Wagenlehner F., Exintaris B., Middendorff R.** *Giessen (Germany), Melbourne (Australia)*  
The hormone oxytocin is equipotent to norepinephrine in the sperm-releasing distal part of the epididymis
- 43 Schueler J., Kuenzel J., Thuesing A., Behnke R., Haegerling R., Fuchs D., Kraus A., Buchholz B., Huang B., Merhof D., Schmidt K., Hackl C., Aung T., Haerteis S.** *Regensburg, Berlin, Erlangen and Deggendorf (Germany), Amsterdam (The Netherlands)*  
Human polycystic renal tissue perfusion visualized by high frequency ultrasound in a 3D-in-vivo-model
- 44 Schaub T.** *Berlin*  
Gender Diversity in Anatomy
- 45 Negretti M. I., Böse N., Viebahn C., Tsikolia N.** *Göttingen*  
Asymmetric morphogenesis and hedgehog signaling in left-right patterning
- 46 Fragoulis A., Schenkel J., Schröder N., Kant S., Pufe T., Wruck C. J.** *Aachen*  
Nrf2 induces malignant transformation of hepatic progenitor cells by inducing BETA-catenin expression
- 

**11:15 – 11:45 Uhr Pause**

---

---

**11:45 – 13:45 Uhr Vorträge 47 - 55**Young Investigator and Nachwuchspreis

---

- 47 Schmitt T., Hudemann C., Moztarzadeh S., Hertl M., Tikkanen R., Waschke J.** *München, Marburg and Giessen*  
Dsg3 epitope-specific signalling in pemphigus
- 48 Wagner M., Herrmann K., Maier O., Grosch M., Zaparty M., Osten L., Schmidt K. N., Witzgall R.** *Regensburg*  
The role of the nonsense-mediated mRNA-decay in polycystic kidney disease
- 49 Quabs J., Duong A., Kucyi A., Lusk Z., Parvizi J., Caspers S.** *Düsseldorf (Germany), Stanford and Philadelphia (United States)*  
Decoding the functional complexity of the human insula linking intracranial EEG and direct cortical electrical stimulation with cytoarchitecture
- 50 Chunder R., Heider T., Kuerten S.** *Bonn and Amberg*  
The prevalence of IgG antibodies against milk and milk antigens in patients with multiple sclerosis
- 51 Hanns P., Castellanos-Martínez R., Xu L., Kuster G., Spindler V., Schinner C.** *Basel (Switzerland), Hannover (Germany)*  
A novel High-throughput Adhesion Assay and its Implications for Arrhythmogenic Cardiomyopathy
- 52 Pleuger C., Ai D., Hoppe M., Winter L., Bohnert D., Karl D., Guenther S., Epelman S., Kantores C., Fijak M., Middendorff R., Loveland K., Mayer J., Hedger M., Bhushan S., Meinhardt A.** *Giessen, Bad Nauheim and Mainz (Germany), Toronto (Canada), Clayton (United States)*  
The regional distribution of resident immune cells shapes distinct immunological environments along the murine epididymis
- 53 Götz L., Rueckschloss U., Bömmel H., Wagner N., Balk G., Ergün S., Kleefeldt F.** *Würzburg*  
The role of CEACAM1 in the pathogenesis of atherosclerosis

- 54 **Eichler A., Kleidonas D., Turi Z., Fliegau M., Kirsch M., Pfeifer D., Masuda T., Prinz M., Lenz M., Vlachos A.** *Freiburg and Hannover (Germany), Fukuoka-ken (Japan)*  
Activity dependent release of microglial cytokines mediates synaptic plasticity induced by 10 Hz repetitive transcranial magnetic stimulation (rTMS)
- 55 **Pommer S., Hinkel R., Mietsch M., Rachel J., Preuss F., Neef A., Staiger J.** *Goettingen*  
Neuronal diversity – Why we should use non-human primates to understand the cellular basis of working memory
- 

13:45 – 14:00 Uhr    **Pause**

13:45 Uhr

---

14:00 Uhr            **Nachwuchspreis-Lecture**

**Preisverleihung: Poster- und YI-Preise**

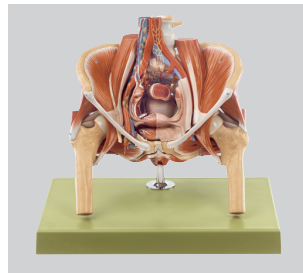
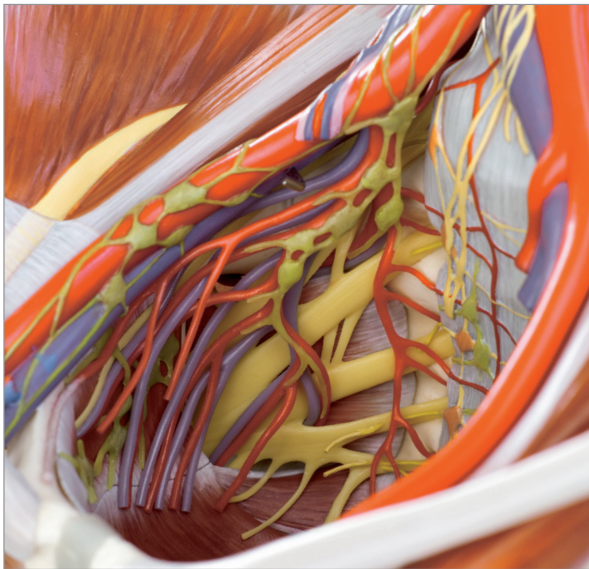
14:45 Uhr            **Ende der 117. Jahrestagung**

---

# Neue Modellserie zur Darstellung des weiblichen Beckens - Detailtreue in SOMSO®-Qualität



SOMSO®  
MODELLE  
SEIT 1876

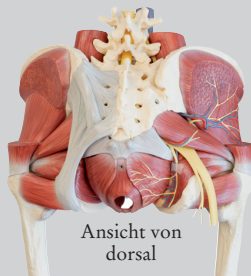


## MS 8/4 · WEIBLICHES BECKENMODELL

**natürliche Größe**, aus  
SOMSO-PLAST®. Nach  
Prof. Dr. med. Elke Lütjen-  
Drecoll und Prof. Dr. med.  
Dr. med. h.c. J. W. Rohen.  
**In 4 Teile zerlegbar**. Auf  
Stativ mit grünem Sockel.



Beckenboden  
und Hüften



Ansicht von  
dorsal

Die Modellserie besteht aus:

- MS 8/5 · Weibliches Beckenmodell
- MS 8/6 · Weibliches Beckenbodenmodell
- MS 8/7 · Weibliche Genitalorgane
- MS 8/8 · Rechtes Hüftgelenkmodell mit Muskeln und Nerven
- MS 8/9 · Linkes Hüftgelenkmodell mit Muskeln

MARCUS SOMMER SOMSO MODELLE GMBH

[www.somso.de](http://www.somso.de)



## Inhaltsverzeichnis/Contents

---

<u>Erstautor/First author</u>	<u>Nr. des Vortrages (V) / Posters (P)</u>
Abdel Wadood N.	P18
Ai D.	P122
Antipova V.	V35, P104
Arnold P.	V31
Bahlmann O.	P4
Barapatre N.	P124
Bartelt-Kirbach B.	P1
Benker S.C.	V33
Bester B.	V42
Beyersdorfer V.	P35
Böge N.	P106
Bömmel H.	P26
Brackmann K.	V30
Brandt N.	P96
Brode R.	P76
Buhrmann C.	P10
Catanese A.	V25
Cetin A.	P90
Chen X.	P49
Chertes C.	P80
Chu Y.-H.	P97
Chunder R.	V50
Claassen H.	P41
Dahlke E.	V18
Demirci H.	P5
Dethleffsen K.	P60
Dillinger A. E.	V4
Dittmar M.	P34
Dogan L. E.	P27
Dorn A.	V14
Eckstein F.	P44
Eichler A.	V54
Elashry M. I.	P15
Elhawy M. I.	P89, P120
Endle H.	V7
Erdmann-Wolf I.	P77
Farid K.	P100
Filler T. J.	V34

<b>Erstautor/First author</b>	<b><u>Nr. des Vortrages (V) / Posters (P)</u></b>
Fragoulis A.	V46
Frank N.	P42
Franz H.	V19
Freudenmacher L.	P86
Galanis C.	V8
Gasterich N.	P79
Gather F.	V10
Gebert M.	P112
Gellisch M.	P126
Giesenow A.	P45
Ginoski V.	P54
Gleixner S.	P37
Gorissen B.	P67
Götz L.	V53
Gouws K.	P116
Hablowetz S.	P93
Hachmann M.	V28, P22
Hahn M.	P25
Hahn N.	P91
Hainfellner A.	P59
Hamarsheh D.	P7
Handke E.	P58
Hannig L.	V16
Hanns P.	V51
Hawliitschka A.	V38
Heiden R.	P38
Heilen L.	P31
Heimke M.	P64
Heinze T.	V32
Hensel A.	P101
Hiermaier M.	P6
Hinganu D.	P62
Hinganu M. V.	P61
Hintze M.	P11
Hohmann T.	V29, P12
Hohmann U.	P73
Horn A.	P82
Jahr V.	P57
Joost S.	P107
Jülich N.	P87
Jüngert K.	V15
Kajese E. V.	P23



<b>Erstautor/First author</b>	<b><u>Nr. des Vortrages (V) /</u></b> <b><u>Posters (P)</u></b>
Käver L.	P105
Keiler J.	P68
Keller M.	P3, P8
Kepser L.-J.	P83
Kindermann A.	P29
Kirchner J.	P28
Kiy Z.	V41
Kleefeldt F.	V26
Kliewe F.	P9
Klymiuk M.	P32
Köper F.	P74
Koumoundourou A.	V21
Kriebel J.	P115
Kruse P.	P95
Kümmel M.-L.	P94
Kyrychenko V.	V22
Lambertz J.	V24
Lange T.	V13, P17
Langenhan T.	V36
Mansori I.	P88
Mavrommatis L.	P71
Mehlhorn J.	V3
Metzger D.	P81
Meuser A.	P66
Mirontsev A.	P46
Müller J.	P103
Müllerbauer L.	P92
Müller-Marienburg L.	P14
Neckel P.	P125
Negretti M. I.	V45
Niestrawska J.A.	V12
Pabst R.	P117
Palicz R.	V5
Peitz K.	P84
Piermaier L.	P65
Pleuger C.	V52
Poharkar K.	P39
Pommer S.	V55
Potru P. S.	V39
Pratama A. M.	P24
Quabs J.	V49
Rachel, J.	V1

<b>Erstautor/First author</b>	<b><u>Nr. des Vortrages (V) /</u></b> <b><u>Posters (P)</u></b>
Rau A.-L.	P13
Reuss B.	P78
Rockel A.	P19
Röderer P.	P111
Ruß T.	P102
Sanadgol N.	V11
Schampel A.	P119
Schaub T.	V44
Scheld M.	P85
Schicht M.	P99
Schindler M.	P118
Schlecht A.	V37
Schlegel N.	P40
Schmitt T.	V47
Schröder N.	P20
Schueler J.	V43
Schumacher S.	P121
Schurr L.	P43
Schuster K.	P21
Schwendt K.	P63
Seyedian Moghaddam A.	P48
Shokr S. M.	P2
Siddiki A.	P72
Sigmund A.	V17
Socher E.	P113
Stäber M.	P51
Stahlke S.	P114
Stangner K.	V27
Stein M.	P16
Steinert L. S.	P30
Storsberg S. D.	P47
Tohidnezhad M.	P123
Tracicarul R.-V.	P69
Trinh S.	P70
Turi Z.	P109
Tüscher O.	V2
Vankriekelsvenne E.	P75
Vierегge F.	P98
Voelz C.	P110
vom Scheidt A.	P36
Wagner M.	V48
Weninger J.	P52

<b>Erstautor/First author</b>	<b><u>Nr. des Vortrages (V) /</u></b> <b><u>Posters (P)</u></b>
Wiegrefte C.	V20
Wiemann S.	V23
Wolf-Vollenbröker M.	P50, P53
Wörsdörfer P.	V9
Wozniak S.	P55
Wurm J.	P85
Yuki K.	V6
Zahn I.	P33
Zambusi A.	V40
Zwinz S.	P56

## SPONSOREN

---

Die diesjährigen **Posterpreise** werden gespendet von:  
Anatomische Gesellschaft

– drei Posterpreise (zu je EUR 300,- EUR)

Die diesjährigen **YI-Preise** werden gespendet von:  
Institut für Anatomie und Zellbiologie, Universität Würzburg  
und  
MDPI AG

*Verbunden mit einem Kurzvortrag von jeweils 5 Minuten*

– zwei YI-Preise (zu je EUR 300,- EUR)



## NOTIZEN

---

## NOTIZEN

---



TRY NOW!



## NEW – 3B SMART ANATOMY

Every original 3B Scientific® anatomy model comes paired with its digital twin, which you can activate through the app.

- Freely rotate models, zoom in & out, display hotspots and their anatomical structures, male and female anatomy
- Quiz & drawing function
- Access online and offline
- Available in many languages

07/2023